

短報

Marquardt 法による Poly-modal な度数分布を正規分布へ分解する BASIC プログラム

赤嶺 達郎¹⁾

The BASIC Program to Analyse the Polymodal Frequency Distribution into Normal Distributions with Marquardt's Method

TATSURO AKAMINE¹⁾

Abstract

The algorithm of this program is Marquardt's method. Gauss' elimination method is used to solve the simultaneous linear equations. Each parameter is scaled during calculation for faster convergence. User inputs the data and initial values of the parameters. It is adequate for convergence to set $\lambda=10000$ or larger.

Poly-modal な度数分布を正規分布へ分解する手法は階級の中央値に度数をプロットすることにより、最小二乗法による回帰曲線の手法に帰着できる。赤嶺(1982)は Gauss-Seidel 法のプログラムを作成した。これは小型計算機用にメモリーを最小限に押さえたた

め、収束が遅いという欠点があった。

最近の小型計算機の高性能化は著しく、より収束の速いプログラムの作成が可能になってきた。このプログラムは Marquardt 法によるもので収束も速く、安定性もよい。使用機種は PC 8801 (NEC) であるが、メモリーが十分であればそれ以下の機種でも可能である。

算 法

与えられた度数分布を F 、階級の数 m 、階級の幅 h 、階級値の最小値 a 、最大値 b とする。分解する正規分布の数を n とおくと、求める式 f 、残差関数 d^2 は

$$f = \sum_{i=1}^n K_i \cdot N(\mu_i, \sigma_i, x) \quad \dots \dots \dots \quad (1)$$

$$N(\mu_i, \sigma_i, x) = \frac{1}{\sqrt{2\pi}\sigma_i} \exp \left\{ -\frac{(x-\mu_i)^2}{2\sigma_i^2} \right\}$$

$$d^2 = \sum_{x=a}^b dx^2 = \sum_x (F-f)^2 \quad \dots \dots \dots \quad (2)$$

$$b = a + (m-1)h$$

となる(第 1 図)。①より

$$\begin{cases} \frac{\partial f}{\partial K_i} = N(\mu_i, \sigma_i, x) \\ \frac{\partial f}{\partial \mu_i} = K_i \cdot N(\mu_i, \sigma_i, x) \cdot \frac{x-\mu_i}{\sigma_i^2} \\ \frac{\partial f}{\partial \sigma_i} = K_i \cdot N(\mu_i, \sigma_i, x) \cdot \frac{(x-\mu_i)^2 - \sigma_i^2}{\sigma_i^3} \end{cases}$$

である。

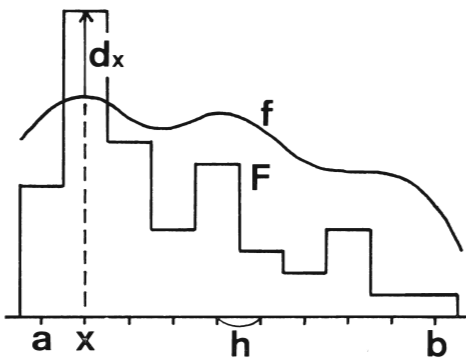
1. Gauss-Seidel 法と Gauss-Newton 法

①を一次近似すると

$$\Delta f \doteq \sum_i^n \left\{ \frac{\partial f}{\partial K_i} \Delta K_i + \frac{\partial f}{\partial \mu_i} \Delta \mu_i + \frac{\partial f}{\partial \sigma_i} \Delta \sigma_i \right\}$$

となる。ここでパラメータ K_i, μ_i, σ_i をまと

1) 〒951 新潟市水道町 1 丁目 5939—22
日本海区水産研究所
(Japan Sea Regional Fisheries Research Laboratory, Suido-cho, Niigata 951, Japan)



第1図 変数の説明

Fig. 1. Illustration of variables.

めて $\alpha_i (i=1 \sim 3n)$ で表わすと

$$\Delta f = \sum_i^{3n} \frac{\partial f}{\partial \alpha_i} \Delta \alpha_i$$

となる。これを②に代入すると

$$\begin{aligned} d^2 &= \sum_x \left\{ F - (f + \Delta f) \right\}^2 \\ &= \sum_x \left(d_x - \sum_i \frac{\partial f}{\partial \alpha_i} \Delta \alpha_i \right)^2 \end{aligned}$$

ここで最小二乗法を用いると

$$\begin{aligned} \frac{\partial d^2}{\partial \alpha_j} &= -2 \sum_x \left(d_x - \sum_i \frac{\partial f}{\partial \alpha_i} \Delta \alpha_i \right) \frac{\partial f}{\partial \alpha_j} \\ &= 0 \end{aligned}$$

これより次の連立方程式を得る。

$$\left(\sum_x \frac{\partial f}{\partial \alpha_i} \frac{\partial f}{\partial \alpha_j} \right) (\Delta \alpha_i) = \left(\sum_x d_x \frac{\partial f}{\partial \alpha_i} \right) \quad \dots \text{③}$$

これを正規方程式と呼び

$$A \Delta \alpha = b$$

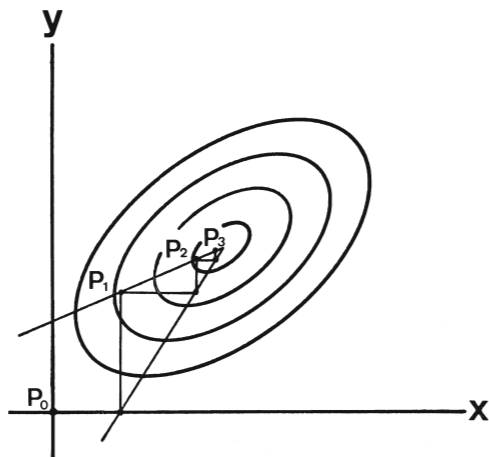
と略記する。これを解いて $\Delta \alpha_i$ を求めるのが Gauss-Newton 法であるが、実際には正規方程式を直接用いない手法の方が精度が高く大型計算機等で採用されている（中川・小柳 1982）。ここでは Gauss の消去法によって正規方程式を解く手法を採用した。ただし、係数行列は対称正定値なので、計算は上三角行列で行なっている（戸川 1971）。

Gauss-Seidel 法ではパラメータを 1 つず

つ動かすので、 $\Delta \alpha_j = 0 (j \neq i)$ より ③は

$$\sum_x \left(\frac{\partial f}{\partial \alpha_i} \right)^2 \Delta \alpha_i = \sum_x \left(d_x \frac{\partial f}{\partial \alpha_i} \right)$$

となり簡単に解ける。これを 2 変数の場合で説明すると第 2 図のようになり、収束が遅いことがわかる。

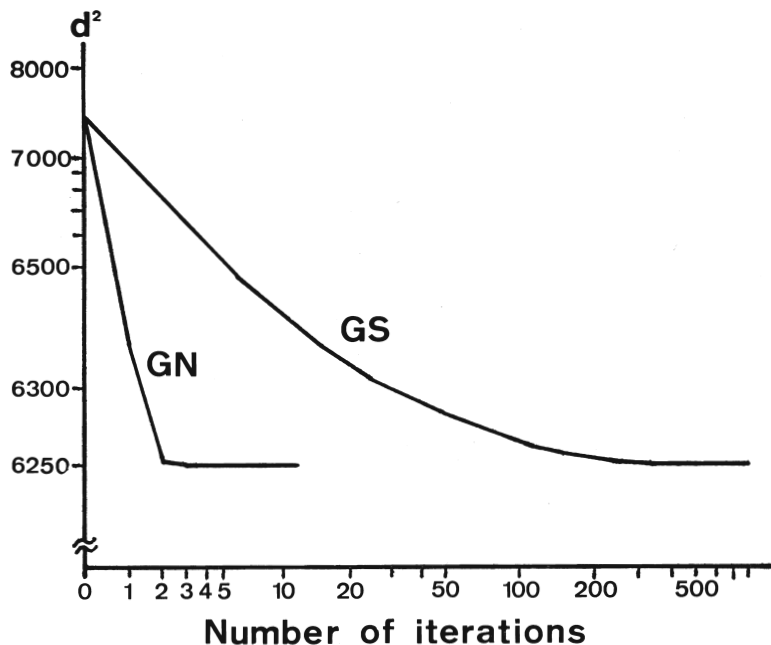


第2図 パラメータ数が 2 の場合の Gauss-Seidel 法の収束

Fig. 2. Convergence of Gauss-Seidel method in the case of 2 parameters.

これに対して Gauss-Newton 法では、回帰直線のように線型のものは 1 回で解が求まる。非線型のものでは線型近似による誤差のため反復が必要であるが、解の近傍では収束は非常に速い。ただし解からはなれないと振動・発散をおこす。

両手法を比較するため、田中（1956）のキダイ体長組成データの分解を行なった。Gauss-Seidel 法では完全に収束するまで 500 回の反復が必要であるが、Gauss-Newton 法では 5 回以内で完全に収束した。ただし、通常の初期値では Gauss-Newton 法で振動・発散を生じたため、Gauss-Seidel 法で 5 回反復計算したものを利用した（第 3 図）。



第3図 d^2 の収束状態

GS : Gauss-Seidel 法 GN : Gauss-Newton 法 データ：キダイの例
初期値：Gauss-Seidel 法で 5 回反復計算

Fig. 3. Convergence of d^2 .

GS: Gauss-Seidel method. GN: Gauss-Newton method. Data: the example of porgy. Initial values: after 5 interations of Gauss-Seidel method.

2. 最急降下法 (Steepest descent method)

パラメータを α_i とおくと、②より

$$\frac{\partial d^2}{\partial \alpha_i} = -2 \sum_x d_x \frac{\partial f}{\partial \alpha_i} \quad \dots \dots \dots \dots \quad ④$$

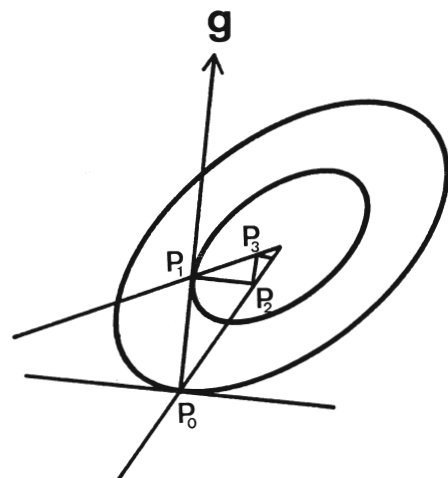
となる。ここで

$$\mathbf{g} = \left(-\frac{\partial d^2}{\partial \alpha_i} \right)$$

とおけば、ベクトル \mathbf{g} は d^2 の等高面の法線であり、谷底の方向に向いている（第4図）。 \mathbf{g} を最急降下ベクトルと呼ぶ。そこで

$$\Delta \alpha_i = \left(\sum_x d_x \frac{\partial f}{\partial \alpha_i} \right) k$$

とし、 k を適当にとって反復すれば解に到達できる。一般的には適当な初期値 k_0 を与え、 $\Delta d^2 < 0$ のときには $k_{n+1} = k_n * 1.2$ で加速し、 $\Delta d^2 \geq 0$ のときには $k_{n+1} = k_n / 2$ で減速してやり直す (Ruckdeschel 1982)。また



第4図 パラメータ数が 2 の場合の最急降下法の収束

Fig. 4. Convergence of steepest descent method in the case of 2 parameters.

Gauss-Seidel 法と同様の方法をとれば

$$\Delta f = \sum_i \frac{\partial f}{\partial \alpha_i} \Delta \alpha_i = \left\{ \sum_i \frac{\partial f}{\partial \alpha_i} \left(\sum_x d_x \frac{\partial f}{\partial \alpha_i} \right) \right\} k$$

$$= \beta_x k$$

$$d^2 = \sum_x \left\{ F - (f + \Delta f) \right\}^2 = \sum_x (d_x - \beta_x k)^2$$

$$\frac{\partial d^2}{\partial k} = 0 \quad \text{より} \quad k = \frac{\sum_x d_x \beta_x}{\sum_x \beta_x^2}$$

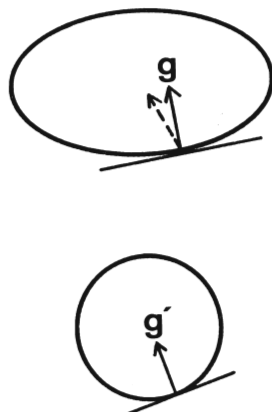
で k が求まる。

しかし、このままでは収束しない。それは $\frac{\partial f}{\partial K_i} \ll \frac{\partial f}{\partial \mu_i}, \frac{\partial f}{\partial \sigma_i}$ のため、 K_i が全く変化しないためである。そこで $\alpha'_i = \frac{\alpha_i}{a_i}$ でスケーリングを行なった。このとき

$$\frac{\partial f}{\partial \alpha'_i} = \frac{\partial f}{\partial \alpha_i} \frac{\partial \alpha_i}{\partial \alpha'_i} = a_i \cdot \frac{\partial f}{\partial \alpha_i}$$

$$\Delta \alpha_i = a_i \cdot \Delta \alpha'_i$$

となる。ここでは a_i としてそのときの α_i の値を使用した。したがって各パラメータのスケールはすべて 1 となっている（第 5 図）。



第 5 図 パラメータのスケーリング

g : 最急降下ベクトル

g' : スケーリングしたパラメータの最急降下ベクトル

Fig. 5. Scaling of parameters.

g : steepest descent vector.

g' : steepest descent vector of scaled parameter.

このスケーリングにより収束はかなりよくなる。単純な場合にはこれでも十分であるが、この場合には収束が遅くて使い物にならない（第 1 表）。これは最急降下方向は局的には最良の方向であるが、大局的には必ずしもよい方向でないためである（中川・小柳 1982）。このように最急降下法は、安定であるが収束は遅いという特徴をもっている。

3. Marquardt 法

Gauss-Newton 法と最急降下法という互いに反対の性質を持つ手法を融合した手法が Marquardt 法である。③と④を比較すると $b = g$ である。そこで

$$(A + \lambda I) \Delta \alpha = b$$

I : 単位行列

とおく。 λ が大きいときには $\lambda I \Delta \alpha = b$ に近づき、 $\Delta \alpha = (1/\lambda) b$ となって最急降下法となる。 λ が小さいときには $A \Delta \alpha = b$ に近づき、Gauss-Newton 法となる。したがって λ の初期値を大きくとり、だんだん小さくしていくれば解に到達できる。Marquardt 法では $\Delta d^2 < 0$ のときには $\lambda = \lambda/\nu$ で λ を小さくし、 $\Delta d^2 > 0$ のときには $\lambda = \lambda \cdot \nu$ で λ を大きくしてやり直す。一般的には $\nu = 2$ である（嶋津 1979）。

$$\Delta d^2 \doteq -2 \sum_x d_x \left(\sum_i \frac{\partial f}{\partial \alpha_i} \Delta \alpha_i \right)$$

で Δd^2 を 1 次近似にて求める方法もあるが、これだと振動・発散を生じた。これは非線型性が強く、1 次近似では誤差が大きいためと考えられる。ここでは $\Delta d^2 = d_{n+1}^2 - d_n^2$ で直接 Δd^2 を求めて判定に使用した。

応用例

PC 8801 を使用して田中（1956）のデータの分解を行なった。結果を第 1 表に示す。 λ を 1000 以上にとれば収束は非常によい。 λ を 100 以下にとると 2 回目以後 $\lambda \rightarrow \infty$ となり中

第1表 d^2 の収束状態Table 1. Convergence of d^2 .

| Number of iterations | Marquardt's method | | Gauss-Seidel method | Steepest descent method |
|----------------------|--------------------|----------------|---------------------|-------------------------|
| | $\lambda=1000$ | $\lambda=10^6$ | | |
| 0 | 798925 | 798925 | 798925 | 798925 |
| 1 | 30880 | 21717 | 95838 | 638443 |
| 2 | 6784 | 9405 | 25020 | 579662 |
| 3 | 6282 | 7646 | 11443 | 520681 |
| 4 | 6251 | 6810 | 8309 | 492315 |
| 5 | 6250 | 6530 | 7364 | 465906 |
| 6 | 6250 | 6453 | 6987 | 440723 |
| 7 | | 6401 | 6802 | 417380 |
| 8 | | 6359 | 6695 | 395116 |
| 9 | | 6329 | 6626 | 374430 |
| 10 | | 6300 | 6577 | 354749 |
| 11 | | 6273 | 6539 | 336417 |
| 12 | | 6257 | 6508 | 319014 |
| 13 | | 6251 | 6481 | 302771 |
| 14 | | 6250 | 6458 | 287377 |
| 15 | | 6250 | 6439 | 272987 |
| 16 | | | 6421 | 259367 |
| 17 | | | 6406 | 246620 |
| 18 | | | 6392 | 234566 |
| 19 | | | 6380 | 223274 |
| 20 | | | 6370 | 212604 |

止した。これは λ が小さすぎたため、 λ の寄与が小さく 1 回目の計算で Gauss-Newton 法によって変動し、停留点にはいったためと思われる。

Marquardt 法では λ を大きめにとって、最急降下法に近い状態で開始しなくてはならない。この場合 λ は単調に減少して解に収束する。逆に λ が単調に増加するような場合は、解に到達したか、 λ が小さすぎて停留点や他の極小点にはいったためで、中止しなくてはならない。このプログラムでは λ が連続して 10 回増加した場合には中止するようにしている。

λ の値としては 10000 くらいが適当なようである。PC 8801 では順調な場合 1 回に 3 分 25 秒程度かった。

考 察

一般的に d^2 は比較的急速に収束するが、各パラメータの収束は遅い。これは解の近傍ではパラメータの偏導関数の値が 0 に近いためと考えられ、各種の最適化法に見られる共通の特性である。したがって、パラメータの計算値に対して過度の信頼を置かない方がよい (Ruckdeschel 1982)。

最小二乗法によって回帰曲線を求める方法は、中川・小柳 (1982) にくわしい。これに紹介されている **SALS** のように、大型計算機用には複雑で大きなプログラムが用意されている。しかし、小型計算機用のプログラムとしては、この程度のプログラムが適当であるように思われる。このプログラムで対応できないようなデータについては大型計算機で扱

プログラムリスト (キダイのデータの入力例)
Program list (DATA: the example of porgy)

```
10  REM
20  REM POLYMODAL 3
30  REM
40  REM ニュウリョク
50  READ NND,MCM,NCL,CWD,NIT,LAMBDA,NU
60  PRINT "セイキフ" ;NND
70  PRINT "サイショウ" ;MCM
80  PRINT "カイキュウ" ;NCL
90  PRINT "カイキュウ" ;CWD
100 PRINT "ハンフ" ;NIT
110 PRINT "ラムダ" ;LAMBDA
120 PRINT "ヌ" ;NU
130 PRINT
140 STOP
150 N3=3*NND
160 DIM F(NCL),X(NCL),DX(NCL),BIBUN(N3),ND(NND,NCL)
170 DIM HENSU(N3),KEISU(N3,N3),TEISU(N3),ZOBUN(N3),HENSU2(N3)
180 FOR K=1 TO NCL
190   X(K)=MCM+(K-1)*CWD
200   READ F(K)
210   PRINT "F(" ;X(K) ;")=" ;F(K)
220 NEXT K
230 PRINT
240 STOP
250 FOR I=1 TO NND
260   S3=I:S2=S3+NND:S1=S2+NND
270   READ HENSU(S1),HENSU(S2),HENSU(S3)
280   PRINT "I=" ;I
290   PRINT "メンセキ=" ;HENSU(S1), "ハイキン=" ;HENSU(S2), "フンサン=" ;HENSU(S3)
300 NEXT I
310 STOP
500 REM ケイサン
510 P9=.398942:P8=-.5
520 FOR I=1 TO N3
530   HENSU2(I)=HENSU(I)
540 NEXT I
550 GOSUB *CLD2
560 D2=D3
570 PRINT "D2=" ;D2
580 PRINT
590 FOR KK1=1 TO NIT+1
600   REM ショキカ
610   FOR I=1 TO N3
620     TEISU(I)=0
630     FOR J=I TO N3
640       KEISU(I,J)=0
650     NEXT J:NEXT I
660   REM ソウカ
670   FOR K=1 TO NCL
680     FOR I=1 TO NND
690       S3=I:S2=S3+NND:S1=S2+NND
700       P1=HENSU(S1):P2=X(K)-HENSU(S2):P3=HENSU(S3)
710       P6=ND(I,K)
720       BIBUN(S1)=P6/P1*X(HENSU(S1))
730       BIBUN(S2)=P6*P2/P3/P3*HENSU(S2)
740       BIBUN(S3)=P6*(P2*P2-P3*P3)/P3/P3/P3*HENSU(S3)
750     NEXT I
760   D1=DX(K)
```

```
770      REM ケイスウ
780      FOR I=1 TO N3
790          TEISU(I)=TEISU(I)+D1*BIBUN(I)
800          FOR J=I TO N3
810              KEISU(I,J)=KEISU(I,J)+BIBUN(I)*BIBUN(J)
820      NEXT J:NEXT I:NEXT K
830      LAMBDA2=0
840      K2=0
850      *REP
860      K2=K2+1
870      IF K2>11 GOTO *OWARI
880      PRINT
890      PRINT "LAMBDA=";LAMBDA
900      PRINT
910      FOR I=1 TO N3
920          KEISU(I,I)=KEISU(I,I)+LAMBDA-LAMBDA2
930      NEXT I
940      REM センシン ショウキヨ
950      FOR I=1 TO N3-1
960          FOR K=I+1 TO N3
970              Q1=KEISU(I,K)/KEISU(I,I)
980              TEISU(K)=TEISU(K)-Q1*TEISU(I)
990              FOR J=K TO N3
1000                  KEISU(K,J)=KEISU(K,J)-Q1*KEISU(I,J)
1010      NEXT J:NEXT K:NEXT I
1020      REM コウタイ ダイニユウ
1030      ZOBUN(N3)=TEISU(N3)/KEISU(N3,N3)
1040      FOR I=N3-1 TO 1 STEP -1
1050          T1=TEISU(I)
1060          FOR J=I+1 TO N3
1070              T1=T1-ZOBUN(J)*KEISU(I,J)
1080          NEXT J
1090          ZOBUN(I)=T1/KEISU(I,I)
1100      NEXT I
1110      FOR I=1 TO N3
1120          ZOBUN(I)=ZOBUN(I)*HENSU(I)
1130          HENSU2(I)=HENSU(I)+ZOBUN(I)
1140      NEXT I
1150      GOSUB *CLD2
1160      IF D3>D2 THEN LAMBDA2=LAMBDA:LAMBDA=LAMBDA*NU:GOTO *REP
1170      REM シュウセイ
1180      LAMBDA=LAMBDA/NU
1190      D2=D3
1200      FOR I=1 TO N3
1210          HENSU(I)=HENSU2(I)
1220      NEXT I
1230      GOSUB *SHUTU
1240      NEXT KK1
1250  *OWARI
1260      END
1500  *CLD2
1510  D3=0
1520  FOR K=1 TO NCL
1530      F1=0
1540      FOR I=1 TO NND
1550          S3=I:S2=S3+NND:S1=S2+NND
1560          P1=HENSU2(S1):P2=X(K)-HENSU2(S2):P3=HENSU2(S3)
1570          ND(I,K)=P9*P1/P3*EXP(P8*P2*P2/P3/P3)
1580          F1=F1+ND(I,K)
1590      NEXT I
1600      D1=F(K)-F1
1610      DX(K)=D1
1620      D3=D3+D1*D1
1630      NEXT K
1640  RETURN
2000  *SHUTU
```

```
2010 REM シュツリョク
2020 PRINT "D2=";D2
2030 PRINT
2040 PRINT "ハンフ° クスウ=";KK1
2050 FOR I=1 TO NND
2060   PRINT "I=";I
2070   S3=I:S2=S3+NND:S1=S2+NND
2080   PRINT "メンセキ=";HENSU(S1),"ハイキン=";HENSU(S2),"フ"ンサン=";HENSU(S3)
2090 NEXT I
2100 RETURN
3000 DATA 5,7.5,29,1,20,10000,2
3010 DATA 7,79,509,2240,2341,623,476,1230,1439,921,448,512,719,673
3020 DATA 445,341,310,228,168,140,114,64,22,0,2,2,0,0,1
3030 DATA 5000,11,1,4000,15.5,1,3000,20,1.5,1000,24,1.5,500,27,1.5
```

変数の説明

Correspondence of variables

NND : number of normal distributions

D3 : d_{n+1}^2

MCM: minimum class mark

HENSU(I) : $\alpha_{i,n}$

NCL : number of classes

HENSU 2 (I) : $\alpha_{i,n+1}$

CWD : class width

BIBUN (I) : $\frac{\partial f}{\partial \alpha_i}$

NIT : number of iterations

KEISU (I, J) : $\sum_x \frac{\partial f}{\partial \alpha_i} \frac{\partial f}{\partial \alpha_j}$

F(K) : F

TEISU (I) : $\sum_x d_x \frac{\partial f}{\partial \alpha_i}$

X(K) : x

ZOBUN (I) : $\Delta \alpha_i$

DX(K) : dx

ND(J, K) : $K_i \cdot N(\mu_i, \sigma_i, x)$

った方がよい。また、嶋津（1979）のように残差関数を積分で定義する方法も小型計算機では時間がかかりすぎるようと思われる。

このプログラムは一般の回帰曲線に応用できる。偏微分を差分近似で求めて、汎用プログラムにすることも可能であるが、誤差による収束の不安定化等を考えると、そのつど作り直した方がよいと思われる。

本論を終えるにあたり、助言していただいた南西海区水産研究所内海資源部石岡清英主任研究官、日本海区水産研究所資源部加藤史彦主任研究官に深謝します。

文 献

- 赤嶺達郎 (1982). Polymodal な度数分布を正規分布へ分解する BASIC プログラム. 日水研報告(33) : 163-166.
- 中川 敏・小柳義夫 (1982). 最小二乗法による実験データ解析—プログラム SALS. 東京大学出版会, 東京, 206 pp.
- Ruckdeschel, F. R. (1982). 科学計算のための BASIC サブルーチン集 2 (下) (長谷川勝也, 石原辰雄訳). 現代数学社, 東京, 245 pp.
- 嶋津靖彦 (1979). 体長組成から年齢組成を推定する一方法. 昭和 54 年度漁業資源研究会議, 西日本底魚部会会議報告 : 36-48.
- 田中昌一 (1956). Polymodal な度数分布の一つの取扱方及びそのキダイ体長組成解析への応用. 東海水研報告(14) : 1-13.
- 戸川隼人 (1971). マトリクスの数值計算. オーム社, 東京, 323 pp.